

# بهینه‌سازی دستگاه سی تی اسکن لیزری به منظور دوزیمتری ژل براساس طراحی جدید اپتیکی

مرتضی عبداللہی شریف<sup>۱</sup>کیوان اصحابی<sup>۲</sup>

<sup>۱</sup>مربی، گروه مهندسی برق، دانشگاه صنعتی ارومیه، ارومیه، ایران  
<sup>۲</sup>کارشناس ارشد، دپارتمان علوم کاربردی، دانشگاه صنعتی مالک اشتر، تهران، ایران

## چکیده

**مقدمه:** در این مقاله برای بهینه‌سازی اسکن سی تی لیزری، که به منظور دوزیمتری ژل معادل بافت به کار می‌رود، ساختار اپتیکی جدیدی پیشنهاد شده است.

**روش بررسی:** روند کار براساس به کارگیری یک دیود لیزری به عنوان منبع نور و سه چیدمان پیاپی اپتیکی با هدف هدایت بهینه پرتوی اپتیکی جهت بازخوانی دقیق ژل معادل بافت مبتلا به تومور بنا شده است. تا به امروز، روش تصویربرداری تشدید پارامغناطیس (MRI) به صورت گسترده‌ای برای ارزیابی توزیع دوز جذبی در دوزیمتری ژل معادل بافت مورد استفاده بوده است. با اینحال، به دلیل مسائل عملیاتی از قبیل در دسترس بودن، هزینه و تجهیزات و اسکن اپتیکی ژل بارها توسط محققان به عنوان یک جایگزین دقیق و کاربردی برای MRI به کار گرفته شده است. پتانسیل روش سی تی اسکن اپتیکی به صورت تجربی نیز مورد کاوش قرار گرفته و مزایای این روش بسیار مطلوب گزارش شده است. توموگرافی توسط نور یک روش غیرمخرب، سریع، آسان و ارزان است که طی آن ژل معادل توسط نور تابش دهی می‌شود و در ادامه اطلاعات اپتیکی نسبت به زاویه چرخش ژل در معرض تابش، آن طرف توسط CCD دریافت می‌گردد.

**یافته‌ها:** این اطلاعات ثبت می‌شود و توسط رایانه تحلیل می‌گردد. با در نظر گرفتن درجه زاویه چرخشی ژل در معرض پرتو و جمع‌آوری اطلاعات اپتیکی ناشی از هر ۳۶۰ درجه یک کانتور سه‌بعدی براساس روش مدل‌سازی مبتنی بر Filtered Back Projection (FBP) به دست می‌آید. با افزایش تصاویر گرفته شده از هر مقطع، تحت عنوان Project، به ازای زوایای عکسبرداری، دقت افزایش می‌یابد.

**نتیجه‌گیری:** تحقیقات قبلی بر روی بهبود کیفیت پرتوی ناشی از منبع نور و بهینه‌سازی چیدمان اپتیکی چندان تمرکزی نداشته‌اند. این موارد اهداف مقاله حاضر را شامل می‌گردد. جایگزینی منبع نوری جدید نسبت به منابع نوری متداول، بهینه‌سازی چیدمان اپتیکی و بالابردن کارایی و حفظ دقت دستگاه از آن جمله‌اند.

**واژه‌های کلیدی:** دوزیمتری ژل معادل بافت، اسکن CT اپتیکی، توموگرافی، FBP

نویسنده مسئول: مرتضی عبداللہی شریف، ۰۴۴۱۳۵۵۴۱۸۴  
 نشانی الکترونیک: m.abdolahisharif@ee.uut.ac.ir

## مقدمه

ژلهایی که به عنوان مواد معادل بافت کاربرد فراوانی در پزشکی دارند اگر در معرض تابش یونیزه شده با انرژی بالا قرار گیرند، بخشی از انرژی را جذب و بخش دیگر را عبور خواهند داد. با افزایش مدت‌زمان تابش، شفافیت ژل کاهش می‌یابد و در این حالت به آن ژل دوزیده می‌گویند. دلیل این پدیده را باید در پراکندگی نور از ذرات ریز واقع در ژل جستجو کرد [۱].

توموگرافی توسط نور یک روش غیرمخرب، سریع، آسان و ارزان است که طی آن ژل معادل بافت در معرض تابش نور قرار می‌گیرد

و اطلاعات اپتیکی توسط CCD با توجه به زاویه چرخش، آن طرف ژل اندازه‌گیری می‌شود. اطلاعات اپتیکی ذخیره شده توسط رایانه آنالیز می‌گردد. با در نظر گرفتن درجه زاویه چرخشی ژل در معرض پرتو و جمع‌آوری اطلاعات اپتیکی ناشی از هر ۳۶۰ درجه، یک کانتور سه‌بعدی براساس روش مدل‌سازی مبتنی بر FBP<sup>۱</sup> به دست می‌آید. با افزایش تصاویر گرفته شده از هر مقطع، تحت عنوان Project، به ازای زوایای عکسبرداری، دقت افزایش می‌یابد.

<sup>۱</sup> Filtered Back Projection

حدود ۲ میلی‌متر می‌باشد، کمره پرتو سطح ژل داخل استوانه را نمی‌تواند به‌طور کامل پوشش دهد و به‌همین دلیل در هر زاویه خاص برای به‌دست آوردن تصاویر موسوم به Projects باید نور لیزر توسط حرکت یک آینه بر روی ژل تابانده شود تا کل سطح آنرا پوشش دهد که حرکت آینه و باریک بودن پرتوی لیزری، تفکیک فضایی در حدود ۳-۲ میلی‌متر را به‌دست می‌دهد [۱۰-۱].

در این مقاله استفاده از دیود لیزری به‌عنوان منبع نوری سیستم اپتیکی دستگاه اسکنر لیزری پیشنهاد شده‌است. دیود لیزری در مقایسه با منابع متداول نوری مانند لیزر He-Ne مزیت‌هایی از قبیل هزینه کمتر، اندازه کوچک‌تر و ولتاژ کار پایین‌تر را دربر خواهد داشت. علاوه بر این، امکان انتخاب طول موج‌های کاری متعدد در محدوده قابل انتخاب تنها با تغییر جریان ورودی دیود لیزری میسر خواهد گردید. این مسئله از آن جهت حائز اهمیت است که یک ژل معادل بافت به‌ازای یک طول موج مشخص، بیشترین درصد نور جذبی را خواهد داشت.

علی‌رغم مزیت‌های فوق‌الذکر، می‌توان مواردی را به‌عنوان معایب به‌کارگیری دیود لیزری در دستگاه اسکنر لیزری عنوان نمود: واگرایی بالا، ابیراهی پرتو و پروفیل پرتوی خروجی به شکل بیضی [۵ و ۴]. بر این اساس، این مقاله روش‌هایی را جهت رفع چنین معایبی پیشنهاد می‌کند که در نهایت منجر به چیدمان اپتیکی نوین به‌کاررفته خواهد شد. براساس مدل‌سازی انجام‌شده، دقت کارکرد به‌قدری بالا خواهد بود که توان تفکیک فضایی کمتر از  $1\text{mm}^3$  به‌دست می‌آید.

#### سیستم اپتیکی پیشنهادی

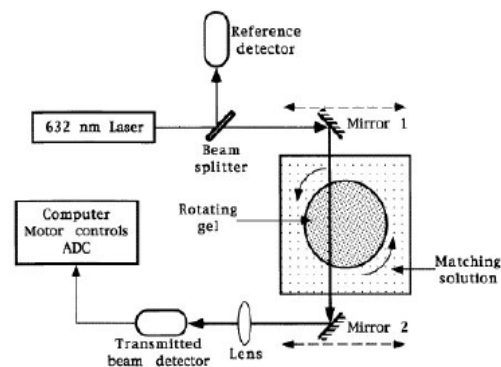
سیستم پیشنهادی به‌صورت شماتیک در شکل ۲ آمده‌است. در این سیستم یک دیود لیزری ۱ mW با طول موج کاری قابل تعیین به ژل تابانده می‌شود. برای حصول طول موج‌های متعدد تنها کافی است جریان ورودی دیود لیزری کنترل گردد.

باید توجه داشت با به‌کارگیری دیود لیزری، برخی معایب ذکرشده از قبیل ابیراهی‌های کروی، کما و آستیگماتیسم، اعوجاج و پروفیل خروجی بیضی‌شکل لیزر اجتناب‌ناپذیر خواهد بود. برای رفع این نارسایی‌ها سه سیستم اپتیکی بهینه‌شده متوالی مورد استفاده قرار می‌گیرد:

در مرحله اول ابیراهی توسط سیستم اپتیکی ۱ (که در شکل ۳ آمده‌است) حذف می‌گردد و علاوه بر این قطر پرتو از ۲ میلی‌متر به ۱ سانتی‌متر افزایش می‌یابد. در مرحله بعد، سیستم اپتیکی شماره ۲ کمره پرتو را تا حدود ۴/۵ سانتی‌متر افزایش می‌دهد تا ۹۰ درصد سطح ژل را پوشش دهد و از پراکندگی در لبه‌های

مطالعات بر روی بهینه‌سازی کارایی روش دوزیمتری لیزری ژل به‌عنوان یک روش پذیرفته‌شده از سوی جامعه پزشکی، حدود یک‌دهه سابقه دارد و هر تحقیق به‌نوبه خود سعی دارد متغیرهای خروجی این روش را بیش از پیش ارتقاء دهد.

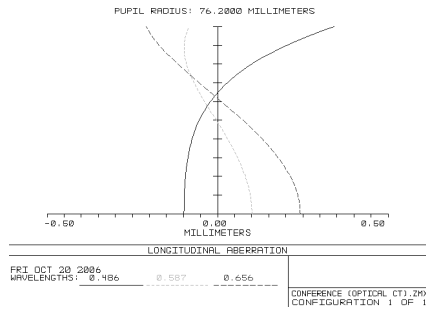
اولین دستگاه اسکنر لیزری توسط Gore و سایرین پیشنهاد گردید که تصویر شماتیک آن در شکل ۱ آمده‌است. ژل مربوطه در یک اتاقک چرخان استوانه‌ای که نور از آن در حال عبور است، قرار می‌گیرد. برای کمینه‌سازی شکست نور، این اتاقک توسط آب پوشیده شده‌است بدین معنا که ضریب شکست آب تقریباً با ضریب شکست مربوط به ژل یکسان است. سپس با تابش پرتوی لیزر ناشی از He-Ne به دورتادور ژل از طریق چرخش اتاقک حاوی ژل، پروفیل‌های مشخصی به‌ازای هر زاویه چرخش حاصل می‌گردد. یک عدسی جهت جمع‌آوری پرتوهای پراکنش، نور پراکنده‌شده را بر روی آشکارساز متمرکز می‌نماید و سرانجام اطلاعات اپتیکی دریافت‌شده به یک دستگاه رایانه هدایت می‌شود تا مورد تحلیل و بازسازی قرار گیرد.



شکل ۱: تصویر شماتیک دستگاه سی‌تی لیزری پیشنهادی توسط Gore و همکاران

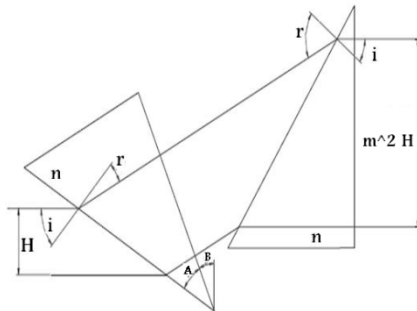
ابتدا یک مدل‌سازی کامپیوتری، یک تصویر دو بُعدی از هر زاویه چرخشی با مشخصه محاسبه ضریب تضعیف نور ایجاد می‌کند و در ادامه، تصویر سه بُعدی از تمام زوایا با روی هم قرار گرفتن این پروفیل‌های دو بُعدی بازسازی می‌گردد. امروزه، دستگاه‌های سی‌تی‌اسکن لیزری با سازوکاری نسبتاً مشابه از دوربین‌های CCD و لامپ‌های جیوه و یا همان لیزر He-Ne استفاده می‌کنند. با این حال، این سیستم‌ها علی‌رغم در نظر گرفتن قابلیت‌های بالا، ایرادهایی نیز دارند. برای مثال قله موج لیزر He-Ne در حدود ۶۳۳ نانومتر می‌باشد و بنابراین تنها می‌تواند برای ژل خاصی که ضریب جذب اپتیکی آن در این حدود است، مورد استفاده قرار گیرد. از سوی دیگر با توجه به اینکه قطر پرتوی لیزر در

دستگاه سی‌تی لیزری از دقت خوبی برخوردار می‌باشد و مهم‌تر اینکه مقرون به صرفه‌تر است.

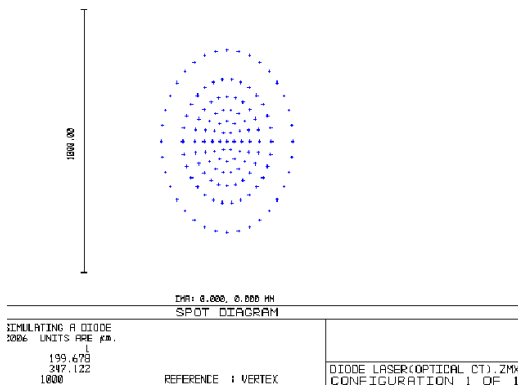


شکل ۴: اصلاح ابیراهی طولی برای چند طول موج متفاوت

پس از موازی‌کردن پرتوی لیزر توسط سیستم اپتیکی ۱ با استفاده از سیستم اپتیکی ۲ (شکل ۵) پرتوی اتساع‌یافته و پروفیل آن از شکل بیضی به دایروی تبدیل می‌گردد. این عمل با استفاده از دو منشور صورت می‌گیرد. فرآیند مزبور توسط محاسبه‌های موجود در روابط ۳-۱ که بیان خواهد شد، توصیف می‌گردد. شکل‌های ۶ و ۷ پروفیل پرتوی ورودی و خروجی را به ترتیب برای یک دیود لیزری معین نشان می‌دهد.

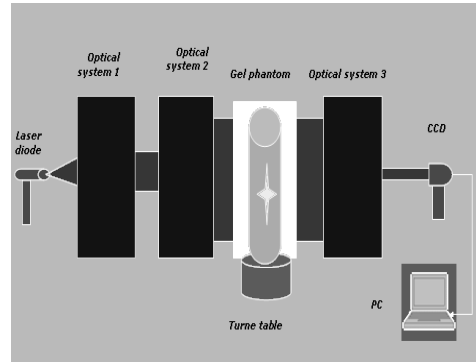


شکل ۵: استفاده از سیستم دو منشوری برای پهن‌سازی و تغییر شکل پرتوی خروجی



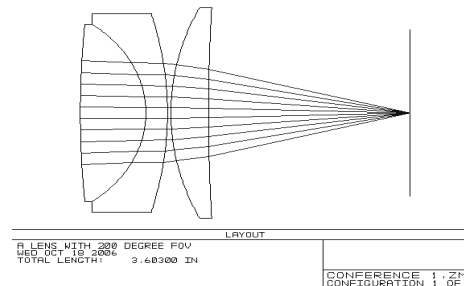
شکل ۶: پرتوی خروجی لیزر دیود که در راستای عمودی دارای پهن‌شدگی بیشتری است.

دیواره استوانه جلوگیری نماید. وظیفه اصلی این سیستم تغییر پروفیل بیضی به شکل دایره‌ای آن است. این تغییر نیازمند محاسبه‌های مربوطه به سیستم اپتیکی به کاررفته است.



شکل ۲: شمای کلی سیستم پیشنهادی

سیستم اپتیکی شماره ۱ با استفاده از نرم‌افزار ZEMAX طراحی می‌شود و در آن یک عدسی تخت-کوژ (۱) ابیراهی کروی را از بین می‌برد و عدسی‌های مضاعف مثبت-منفی (۲) و (۳) با تشکیل ابیراهی‌های مخالف هم کما و آستیگماتیسم، اثر یکدیگر را حذف می‌کنند. سطح تخت ورودی نیز برای حذف اثرهای ابیراهی یک‌روزنه به کار می‌رود.



شکل ۳: سیستم اپتیکی موازی‌ساز به همراه جدول آن که به صورت شبه‌مستقارن برای حذف ابیراهی‌های مخالف طراحی شده است.

این سیستم دارای NA ۰/۶۲ فاصله کانونی ۶/۵ میلی‌متر و دارای اعوجاج جلو موج پایین می‌باشد و چون ابیراهی‌های آن حذف شده دهانه آن بزرگ و در حدود ۱ سانتی‌متر در نظر گرفته شده‌است تا پراش ناشی از لکه در خروجی محدود شود.

شکل ۴ ابیراهی خروجی ناشی از سیستم اپتیکی ۱ را برای چند طول موج نشان می‌دهد. اگرچه براساس دانسته‌های اپتیک غیر خطی، طراحی سیستم اپتیکی ۱ با استفاده از آینه‌های مزدوج‌کننده فاز اپتیکی (OPC) می‌تواند دقت حذف ابیراهی‌ها را بیش از پیش بالاتر برد، سیستم طراحی‌شده حاضر برای مقاصد

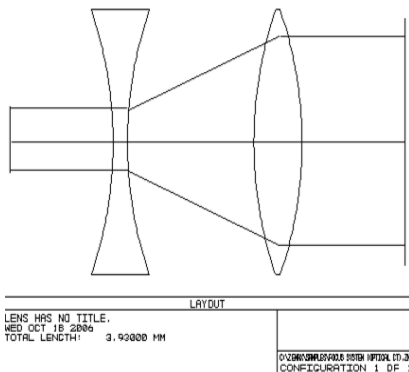
سانتی‌متر کانونی می‌شود. چیدمان سیستم اپتیکی ۳ در شکل ۸ آمده‌است.

$$|M| = \frac{D_{input}}{D_{output}} = \left| \frac{f_1}{f_2} \right| \quad (4)$$

فاصله کانونی عدسی مقعر  $f_1 = 9 \text{ cm}$

فاصله کانونی عدسی محدب  $f_2 = 4 \text{ cm}$

فاصله بین دو عدسی  $d = 5 \text{ cm}$



شکل ۸: سیستم اپتیکی سوم که متشکل از دو عدسی مثبت و منفی برای متمرکز کردن پرتو بر روی CCD است.

اکنون دوربین CCD پرتوی آشکارسازی شده را به یک رایانه ارسال می‌کند تا مورد تحلیل قرار گیرد.

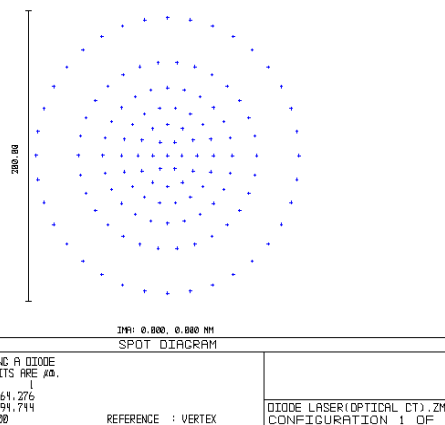
#### بازسازی تصویر سه‌بُعدی

در این مرحله برای تحلیل کارکرد سیستم از روش FBP جهت بازسازی تصویر سه‌بُعدی استفاده می‌شود. روند کار به صورت زیر است:

با در نظر گرفتن پرتوی موازی شده فرودی با زاویه  $\varphi$ ، پرتوی عبوری پروفیلی مطابق شکل ۹ خواهد داشت. اگر ژل در هر مرحله  $1^\circ$  بچرخد،  $180^\circ$  الگوی متفاوت به‌ازای  $180^\circ$  چرخش به دست خواهد آمد. در ابتدای فرآیند، یک الگوی دو بُعدی بازسازی می‌شود و سپس این تصاویر دو بُعدی کانتور سه بُعدی با در نظر گرفتن معادلات زیر به دست می‌آید.

برای توصیف این معادلات ابتدا فرض می‌گردد  $g(\varphi, s)$  یک الگوی تک بُعدی به‌ازای زاویه مشخصه  $\varphi$  باشد که طی آن  $g$  شدت توزیع کل در نقطه‌ای با زاویه  $\varphi$  و فاصله  $s$  از مرکز تصویر اصلی است. از این‌رو:

$$g(\varphi, s) = \int_l f(x, y) dl \quad (5)$$



شکل ۷: پرتوی دایروی پس از عبور از جفت منشور تغییر شکل دهنده

بزرگ‌نمایی منشور مطابق با رابطه ۱ به زاویه فرودی و شکست بستگی خواهد داشت:

$$m = \frac{H'}{H} = \frac{\sin(90-r)}{\sin(90-i)} = \frac{\cos r}{\cos i} \quad (1)$$

با انتخاب شیشه BK7 به‌عنوان جنس منشورها و استفاده از معادله‌های زیر که به‌سادگی از شکل ۵ منتج می‌گردد، امکان افزایش کمره پرتو از ۱ سانتی‌متر تا ۴/۵ سانتی‌متر وجود خواهد داشت:

$$\sqrt{\frac{1-m^2}{1-m^2 n^2}} = \sin(A) \quad A = 30^\circ \quad B = 36.71^\circ \quad (2)$$

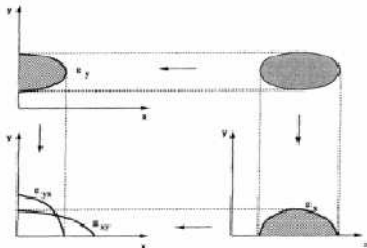
$$n \sqrt{\frac{1-m^2}{1-m^2 n^2}} = \sin(A+B)$$

اکنون ژل در اتاقک استوانه‌ای با قطر ۵ و ارتفاع ۷ سانتی‌متر قرار می‌گیرد. همان‌طور که مطرح گردید، مجموعه ژل باید در داخل محفظه‌ای پر از آب غوطه‌ور گردد. از طرف دیگر این مجموعه بر روی یک دیسک چرخان که توسط یک موتور پله‌ای کنترل می‌شود، سوار می‌گردد. زاویه چرخش در هر مرحله  $0.19^\circ$  می‌باشد و بنابراین  $400$  زاویه دید برای اخذ تصاویر مهیا خواهد گردید. امکان حصول  $10$  پروفیل بُعدی به‌ازای هر زاویه دید موجود می‌باشد و تصویر مناسب حاصل شده بدون خطا با استفاده از روش ML (احتمال درست‌نمایی بیشینه: روشی برای بهینه‌سازی تصویر آشکارسازی شده) به‌ازای هر سطح مقطع تهیه می‌گردد.

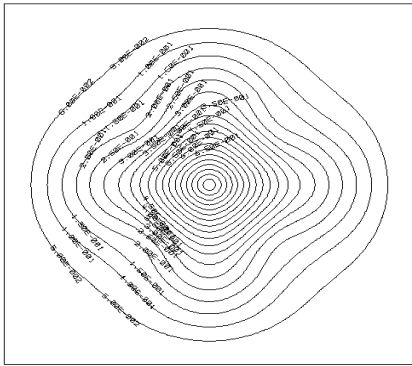
برای آشکارسازی تصویر، سیستم اپتیکی شماره ۳ مطابق با آنچه در ادامه بیان خواهد شد، به کار گرفته می‌شود. پرتوی اپتیکی با استفاده از معادله ۳ بر روی یک دوربین CCD با روزنه‌ای به قطر ۲

### یافته‌ها

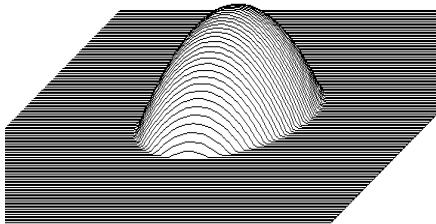
هر نقطه در project های دو بُعدی به انتگرال خطی جذب در طول طیف نوری نسبت داده می‌شود که از ژل می‌گذرد و با استفاده از تکنیک FBP از تصاویر دو بُعدی گرفته شده کانتور سه بُعدی، همان‌طور که در شکل‌های ۱۱ و ۱۲ نشان داده شده است، به دست می‌آید. این تصاویر نشان‌دهنده توزیع دوز جذب شده در ژل نوعی آزمایشگاهی است و قابلیت مجموعه پیشنهادی را جهت تعیین توزیع دوز در بافت‌های مبتلا به تومور نشان می‌دهد.



شکل ۱۰: ترکیب تصاویر از دو زاویه متفاوت



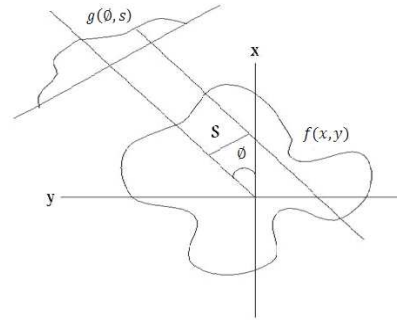
شکل ۱۱: نمایش کانتور به دست آمده به صورت دو بُعدی



شکل ۱۲: بازسازی سه بُعدی با استفاده از کانتورهای به دست آمده از توزیع دوز جذب شده در ژل.

هرچه project های بیشتری به دست آید، کیفیت تصویر بازسازی شده بهتر خواهد بود. افزایش project ها منوط به افزایش زوایای عکسبرداری خواهد بود.

در این رابطه  $f(x, y)$  تصویر اصلی است.



شکل ۹: نور فرودی بر جسم تحت زاویه  $\theta_1$

نیز می‌توان معادله نقاط واقع بر روی خط را به صورت زیر به دست آورد:

$$x \sin(\phi) - y \cos(\phi) = s \quad (6)$$

$$g(\phi, s) = \iint f(x, y) \delta(x \sin \phi - y \cos \phi - s) dx dy \quad (7)$$

در ادامه،  $g$  ها به ازای جميع زوايا (تبدیل Radon تصویر اصلی) به دست می‌آیند. ماتریس دو بُعدی تصویر تحت دوران قرار می‌گیرد و با جمع درایه‌های هر ستون تصاویر موسوم به Projects حاصل می‌گردد. حال تصویر اولیه (اصلی) توسط ۱۸۰ تصویر projects به دست آمده بازسازی می‌گردد.

تبدیل فوری تابع یک بُعدی  $g(\phi, s)$  همان تبدیل فوری دو بُعدی تصویر اصلی است. تبدیل فوری تابع  $g$  در معادله ۶ آمده است:

$$G(\phi, \omega) = \int e^{-j\omega s} g(\phi, s) ds \quad (8)$$

با جای گذاری می‌توان داشت:

$$G(\phi, \omega) = \iiint f(x, y) e^{-j\omega s} \delta(x \sin \phi - y \cos \phi - s) dx dy \quad (9)$$

با استفاده از خصوصیات تابع دلتای دیراک می‌توان نوشت:

$$G(\phi, \omega) = \iint f(x, y) e^{-j\omega(x \sin \phi - y \cos \phi - s)} dx dy \quad (10)$$

اکنون می‌توان تبدیل فوری دو بُعدی تصویر اصلی را نیز مطابق معادله ۱۱ نوشت:

$$F(u, v) = \iint f(x, y) e^{-j(ux + vy)} dx dy \quad (11)$$

با بازنویسی معادله فوق در دستگاه مختصات کروی:

$$f(x, y) = \frac{1}{4\pi^2} \iint G(\phi, \omega) e^{j\omega(x \sin \phi - y \cos \phi)} |\omega| d\omega d\phi \quad (12)$$

باتوجه به رابطه ۱۲ می‌توان تصویر اصلی را بازسازی کرد.

## بحث و نتیجه گیری

اعوجاج‌دار هنگام استفاده از دیود لیزری مطرح خواهد بود. برای غلبه بر این ایرادها سه سیستم اپتیکی پیاپی در این مقاله پیشنهاد شده‌است: اول ابیراهی‌ها توسط سیستم اپتیکی ۱ برطرف می‌گردد، سپس سیستم اپتیکی ۲ با اتساع کمره پرتو، پروفیل آنرا از شکل بیضی به دایروی تبدیل می‌کند و سرانجام سیستم اپتیکی ۳ برای جمع‌آوری پرتوها بر روی دوربین CCD با رزولوشن ۲ سانتی‌متر به کار گرفته می‌شود.

نتایج حاصل از بازسازی تصویر سه‌بعدی گرفته‌شده از یک ژل معادل بافت نوعی آزمایشگاهی نشان‌دهنده آن است که مجموعه این تغییرات، یک دستگاه سی‌تی لیزری کوچک، قابل حمل، بسیار ارزان و با کاربری آسان را در اختیار پزشک قرار می‌دهد که به دلیل دقت زیاد، قابلیت اطمینان بالایی را برای پزشکان تضمین خواهد نمود.

دوزیمتری ژل معادل بافت یک روش آسان و با قابلیت اطمینان بالا با استفاده از لیزر است که امکان تعیین توزیع دوز را در بافت مبتلا به تومور میسر می‌سازد. در این مقاله جهت فشرده‌سازی و قابل‌حمل‌نمودن دستگاه دوزیمتری ژل به‌روش سی‌تی لیزری به‌جای لیزر He-Ne که به‌صورت متداول در سیستم‌های اپتیکی دوزیمتری ژل مورد استفاده است، از یک دیود لیزری با توان ۱mW به‌عنوان منبع نوری استفاده می‌شود. این جایگزینی مزایایی از قبیل قیمت ارزان، اندازه کوچک و ولتاژ کاری پایین را در پی خواهد داشت. علاوه بر این‌ها، باتوجه به این واقعیت که بیشینه مقدار جذبی هر ژل در یک طول موج مشخصه قرار می‌گیرد، امکان انتخاب طول موج‌های متعدد کاری برای دستگاه دوزیمتری میسر خواهد شد.

علی‌رغم مزایای فوق‌الذکر، ایرادهایی از قبیل واگرایی بالا، ابیراهی کروی، کما و آستیگماتیسم و نیز پروفیل خروجی

## References

- Gore JC, Ranade M, Maryanski MJ, Schulz RJ. Radiation dose distributions in three dimensions from tomographic optical density scanning of polymer gels. I. Development of an optical scanner Phys. Med. Biol. 412695–704(1996).C.D. Jones, A.B. Smith, and E.F. Roberts, *Book Title*, Publisher, Location, 2000.
- Bero MA, Gilboy WB. High- resolution tomography for 3-D radiation dosimetry with radio chromatic gels. Third International Conference on Radiotherapy Gel Dosimetry, 2004.
- Oldham M. Optical-CT scanning polymer gels. Third International Conference on Radiotherapy Gel Dosimetry, 2004.
- Forkner JF. Characteristics of efficient laser diode collimators. SPIE 1987; 740.
- SenthilKumar D, JebaseelanSamuel EJ. Investigation on Tissue Equivalent Normoxic Polymer Gel Dosimeter using In-house Laser CT scanning system. 2010 J. Phys.: Conf. Ser. 250 012040.
- Oldham M, Siewerdsen JH, Shetty A, Jaffray DA. High resolution gel-dosimetry by optical-CT and MR scanning. Am. Assoc. Phys. Med, 2001; 28(7): 1436-45.
- Sakhalkara HS, Oldham M. Fast, high-resolution 3D dosimetry utilizing a novel optical-CT scanner incorporating tertiary telecentric Collimation. Med Phys. 2008; 35(1): 101–11.
- Oldham M, Siewerdsen JH, Kumar S, Wong J, Jaffray DA. Optical-CT Gel-Dosimetry I: Basic Investigations” Med Phys 2003; 30(4): 623.
- Subburaj K. CT Scanning–Techniques and Applications Chapter2: Application of Optical CT Scanning in Three Dimentional Radiation Dosimetry by: Andy Y. Xu and C. S. Wu, ISBN 978-953-307-943-1, InTech, 2011 under CC BY-NC-SA 3.0 license.
- Papadakis AE, Maris TG, Zacharakis G, Papoutsaki V, Varveris4 C, Ripoll J, Damilakis J. Technical Note: A fast laser-based optical-CT scanner for three-dimensional radiation dosimetry. Med. Phys., 2011; 38: 830.